

Informe del Comité Técnico Red Andaluza de Vigilancia de Aguas Residuales de la Provincia de Córdoba como indicador de alerta temprana de la propagación del COVID-19

Semana 25: 21 al 27 de junio de 2021

Semana 26: 28 de junio al 4 al de julio de 2021

Introducción

El objetivo principal de la red es estudiar la correlación entre el material genético detectado en aguas residuales y la incidencia acumulada (IA) de casos a los efectos de analizar si este indicador puede ser válido como:

1. Indicador de alerta temprana.
2. Indicador para medir efectividad de las medidas adoptadas para la contención de la propagación del virus.
3. Indicador de ayuda a la toma de decisiones sobre dónde realizar cribados masivos.
4. Indicador que correlacione el número de copias de material genético con la incidencia acumulada.

En la provincia de Córdoba el estudio de SARS-CoV-2 en aguas residuales se concreta en los municipios de Lucena y Córdoba, si bien el análisis en aguas se está realizando, por el momento, solo en el municipio de Córdoba.

Metodología para calcular el número de casos confirmados de covid-19, su análisis y representación geográfica.

La fuente de datos de los casos de covid-19 es la aplicación informática Redalerta, en la que constan todos los datos de cada persona que tiene un diagnóstico confirmado de covid-19 según los métodos de diagnóstico reconocidos. En el momento actual se dispone de dos pruebas de detección de infección activa: una prueba rápida de detección de antígenos (Antigen Rapid diagnostic test, Ag-RDT) y una detección de ARN viral mediante una RT-PCR o una técnica molecular equivalente.

Redalerta almacena las coordenadas UTM del lugar de residencia de la mayoría de los casos confirmados, lo que nos permite su representación geográfica. Aquellos casos en los que no consta las coordenadas UTM se localizan manualmente, aunque queda un porcentaje inferior al 1% de los casos cuyas coordenadas no pueden ser identificadas.

Los criterios de selección de los puntos de toma de muestra de aguas residuales se expresan en el apartado específico que se muestra en este informe y se resumen en el anexo I.

El objetivo inicial de relacionar los datos de cada cuenca con las unidades de gestión clínica (UGC) consideramos que introduce un gran sesgo ya que no coinciden ni el área ni la población de ambas. Por ello,





hemos optado por calcular la población de cada cuenca de vertido, representar los casos nuevos de covid-19, contarlos y calcular la incidencia acumulada por cuenca.

La empresa municipal de gestión de aguas, EMACSA, ha elaborado la representación gráfica de cada una de las cuencas de vertido en los que existe un punto de toma de muestras, lo que ha permitido mejorar la exactitud de los datos.

Con el fin de relacionar los resultados analíticos de las copias genómicas de SARS-CoV-2 en aguas residuales de cada punto de muestreo con los casos de covid-19 confirmados, es necesario conocer la población que vierte aguas residuales en cada una de las cuencas. Para ello, se ha optado por la representación geográfica de los datos y el análisis de los mismos por medio de un Sistema de Información Geográfica, que en nuestro caso es la aplicación QGIS en su versión 3.4.6.

En el programa QGIS se representan las cuencas sobre una ortofotografía de Andalucía y a su vez sobre una malla de población, de 250 m x 250 m, en la que se conoce la población residente según el padrón municipal a 1 de enero de 2020. Conocida la población, se representa geográficamente los nuevos casos confirmados acumulados durante 14 días en cada cuenca de vertido. Al conocer el número de casos confirmados en ese periodo de cada cuenca y, habiendo calculado previamente la población de cada una de ellas, calculamos la incidencia acumulada en 14 días de las cuencas objeto del estudio (número de casos confirmados * 100.000 / población).

Consideraciones del estudio en el municipio de Córdoba:

En el municipio de Córdoba, la Empresa Municipal de Aguas de Córdoba S.A (Emacsa) toma muestras simples de aguas residuales (no compuestas), y son remitidas para su análisis al departamento de genética de la Universidad de Córdoba (Grupo de Genómica y Biotecnología Animal).

Datos de la técnica empleada en el análisis de las aguas residuales:

Se sigue el protocolo de Randazzo et al. 2020, por el que mediante RT-qPCR se cuantifican las copias de fragmentos de genes del virus presente en las muestras de aguas residuales que han sido previamente concentradas. A continuación se lleva a cabo la extracción de ARN vírico empleando el kit CVX™ Viral RNA Extraction Kit (Canvax) y se procede a la cuantificación del virus empleando tres dianas víricas (**ORF1; Proteína S, Proteína N**) que proporciona el kit TaqMan™ 2019-nCoV Assay v1 (Applied Biosystems).

El resultado para el SARS-CoV-2 se determina de la siguiente manera:

- **NEGATIVO**→ Las dianas determinadas (ORF1, S y N) son negativas.
- **POSITIVO**→ Hay detección robusta para una de las dianas (ORF1, S y N), o detección para dos de las dianas, aunque la determinación sea por debajo del límite de cuantificación.
- **PRESUNTO POSITIVO**→ Solo hay detección para una de las dianas, y esta no es muy robusta, siendo una diana positiva y las otras dos negativas.



El límite de cuantificación, que es la cantidad más pequeña del analito (ARN del virus) que se puede cuantificar por la técnica utilizada (RT-qPCR) de forma reproducible y confiable, es:

- Para la diana ORF 1: $3.67 \log_{10} \text{cg/L}$
- Para la diana S: $2.52 \log_{10} \text{cg/L}$
- Para la diana N: $3.50 \log_{10} \text{cg/L}$

La concentración vírica más baja del SARS-CoV-2 (copias genómicas equivalentes o ECG) que puede detectar el kit TaqPath™ COVID-19 son 10 ECG.

Criterios para evaluar la evolución de los datos obtenidos en las aguas residuales:

Los resultados obtenidos tras el análisis de las muestras son cuantificados por los laboratorios como copias genómicas de SARS-CoV-2 por litro (cg/l). Los datos se transforman a escala logarítmica (\log_{10} cg/l) debido a las magnitudes y rangos de los datos, las características de las poblaciones microbianas y la forma de propagación de las enfermedades infecciosas en la población.

Para evidenciar la evolución de los datos, se calcula la variación a partir de la diferencia de cuantificación en unidades genómicas de copias de ARN de cada cuenca de muestreo respecto a la semana anterior. Los resultados pueden mantenerse estables, aumentar o disminuir, en función de las siguientes categorías:

Variación	Unidades logarítmicas de diferencia
Aumento significativo	Más de +1
Aumento	Entre + 0,4 y +1
Estable	Entre - 0,4 y + 0,4
Disminución	Entre - 0,4 y -1
Disminución significativa	Menos de -1

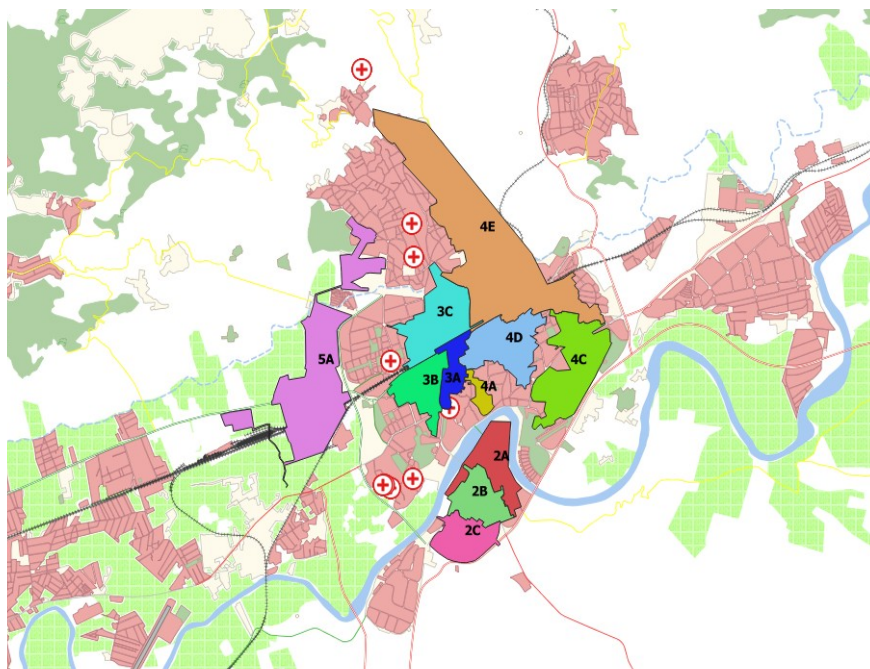


Puntos de toma de muestras:

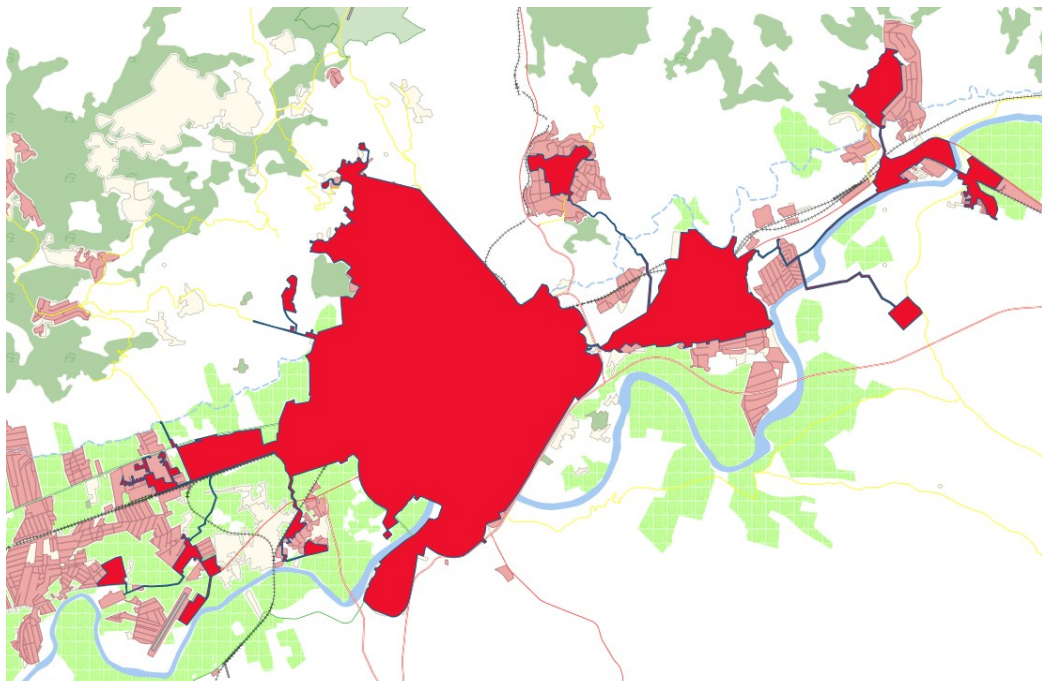
Siguiendo los criterios establecidos en *Acuerdo de 7 de julio de 2020, del Consejo de Gobierno, por el que se toma conocimiento del informe de la Consejería de Salud y Familias sobre la creación de la Red Andaluza de Vigilancia de Aguas Residuales como indicador de alerta temprana de la propagación del COVID-19 (Boja n.º 132, de 10 de julio de 2020)*, se han seleccionado doce puntos de muestreo, uno en la EDAR, y los once restantes en la ciudad de Córdoba que recogen las aguas de vertido de once zonas de la ciudad, así:

- Se han excluido las áreas de influencia de los hospitales y la mayoría de las zonas industriales.
- Se han incluido todas las zonas desfavorecidas de la ciudad de Córdoba, que corresponden con la barriada de las Palmeras (cuenca 5), Las Moreras (cuenca 3C) y Distrito Sur Córdoba (que se incluye en las cuencas 2B, 2C y parte de la 2A).
- Se han incluido once residencias de mayores. En las cuencas 2A, 2C, 3A, 3C, 4A, 4E y 5 se encuentra una residencia en cada una de ellas, en la cuenca 4D hay tres residencias y en las cuencas 2B, 3B y 4C no existen residencias. No se han podido incluir más debido a que coincidían con las áreas de influencia de los hospitales o por otros criterios de selección.
- Se ha tenido en cuenta la concentración de población y la incidencia de COVID.

En el **anexo I** se relaciona cada cuenca con los barrios, residencias de mayores, zonas desfavorecidas, centros de salud, unidades de gestión clínicas y población asociada a las mismas.



Gráfica 1: Representación de las cuencas de vertido seleccionadas para la toma de muestras en aguas residuales, con identificación de los nombres de las cuencas y la localización geográfica (con una cruz roja) de los hospitales de la ciudad de Córdoba.



Gráfica 2: Representación de la cuenca de vertido de la Estación Depuradora de Aguas Residuales (EDAR) “La Golondrina”.

Días y horas de toma de muestras:

La hora de toma de muestras en los diferentes puntos se ha tenido en cuenta atendiendo al periodo de máxima carga y el tiempo y recorrido de las aguas residuales hasta ese punto de muestra. Las toma de muestra se realizan a la misma hora todas las semanas con una oscilación máxima de un cuarto de hora.

Se han tomado las muestras en dos días por la imposibilidad logística de tomar las doce muestras en un mismo día, no obstante se ha tenido en cuenta que cada cuenca se muestree el mismo día de la semana, martes o jueves.

Toma de muestras: MARTES	
Cuenca	Hora
2B	11:00
2C	11:15
2A	11:30
3C	12:00
EDAR	12:00
5	12:30

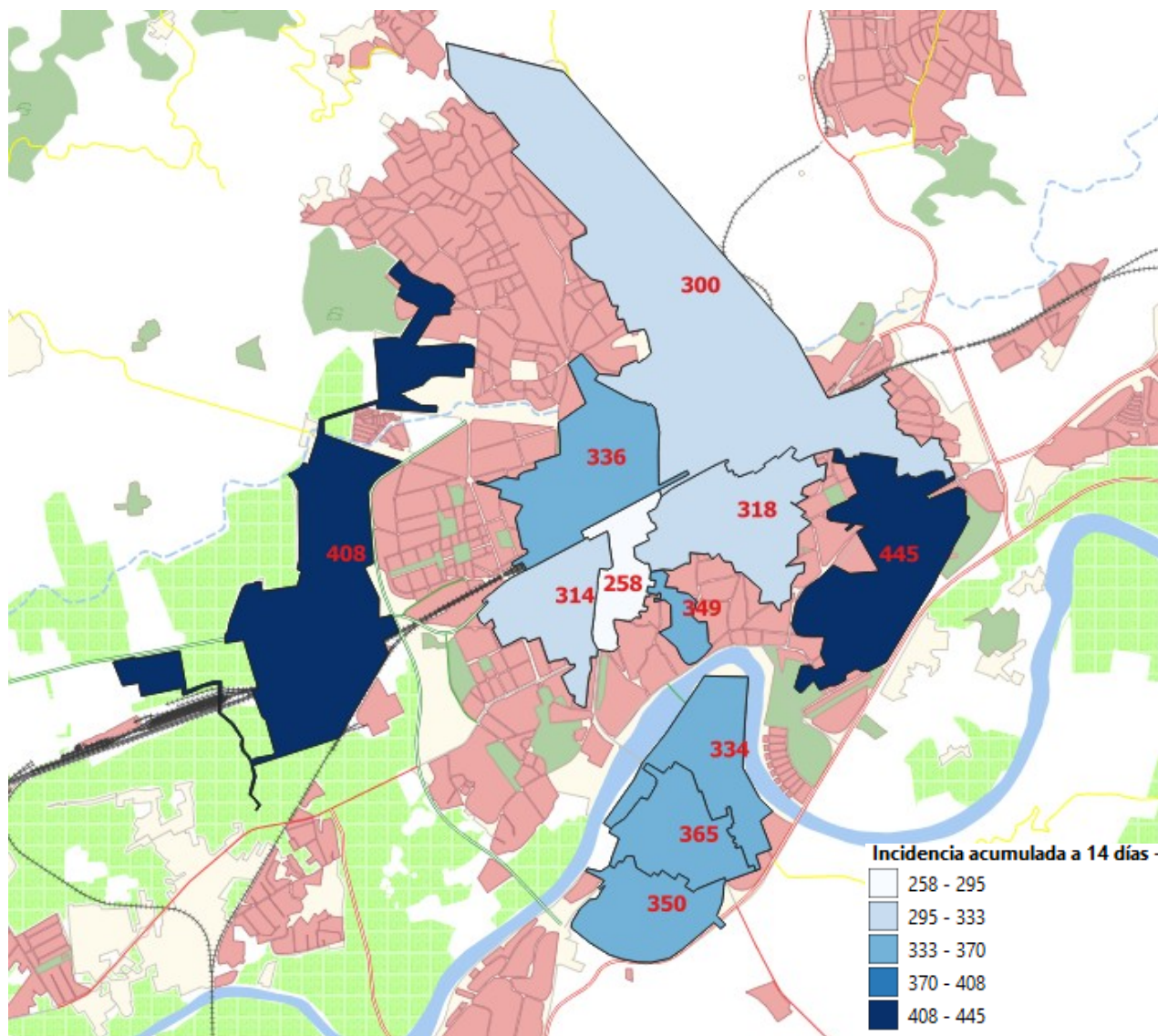
Toma de muestras: JUEVES	
Cuenca	Hora
4E	11:00
4D	11:15
4A	11:30
4C	12:00
3A	12:15
3B	12:30



Representación gráfica de la incidencia acumulada (IA) en 14 días:

En el siguiente mapa se representa geográficamente, de forma conjunta, la incidencia acumulada en 14 días de los martes y los jueves, según el día de toma de muestras. La incidencia acumulada de cada cuenca se refiere a la del día de su toma de muestra.

Mapa de la semana 25 (días de toma de muestra 22/06/2021 y 24/06/2021):

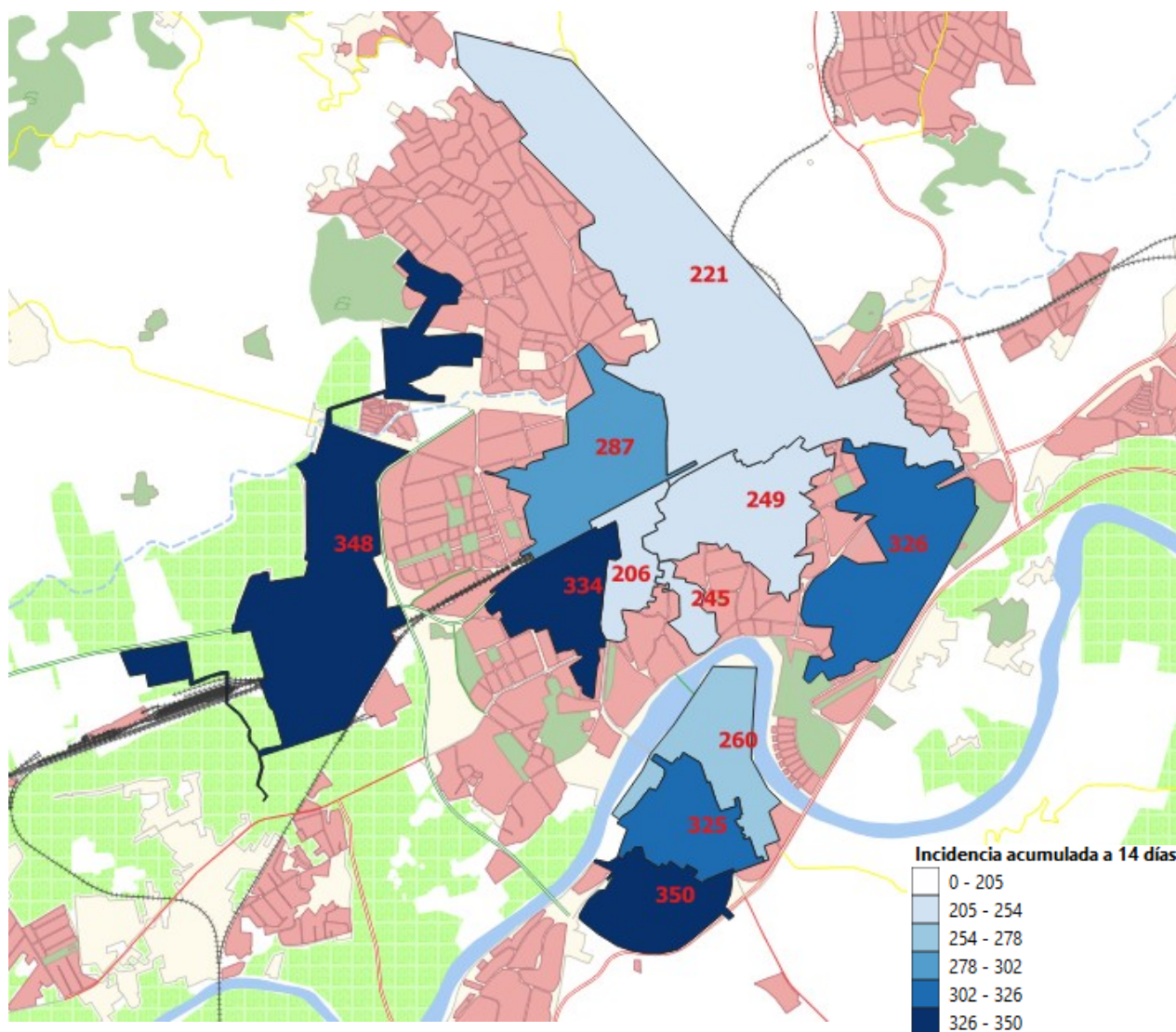


Gráfica 3: Incidencia acumulada de nuevos casos confirmados de covid-19 diagnosticados en 14 días y extrapolados a una población de 100.000 habitantes.



Si estudiamos la evolución de la incidencia acumulada de la semana 25, se produce un aumento de la incidencia acumulada en 14 días en 10 cuencas, y en 2 disminuye (cuencas 2C y 4A). Se incluyen en este resumen los datos de la IA 14 días de la EDAR aunque no están representados en la gráfica 3. La mayor incidencia (IA 14 días: 445) se produce en la cuenca 4C.

Mapa de la semana 26 (días de toma de muestra 29/06/2021 y 01/07/2021):



Gráfica 4: Incidencia acumulada de nuevos casos confirmados de covid-19 diagnosticados en 14 días y extrapolados a una población de 100.000 habitantes.

Si estudiamos la evolución de la incidencia acumulada de la última semana, en la semana 26 se produce un aumento de la incidencia acumulada en 14 días en 1 cuenca, se mantiene estable 1 cuenca y disminuye en las 10 cuencas restantes. Se incluyen en este resumen los datos de la IA 14 días de la EDAR aunque no están representados en la gráfica 4. La mayor incidencia (IA 14 días: 350) se produce en la cuenca 2C.

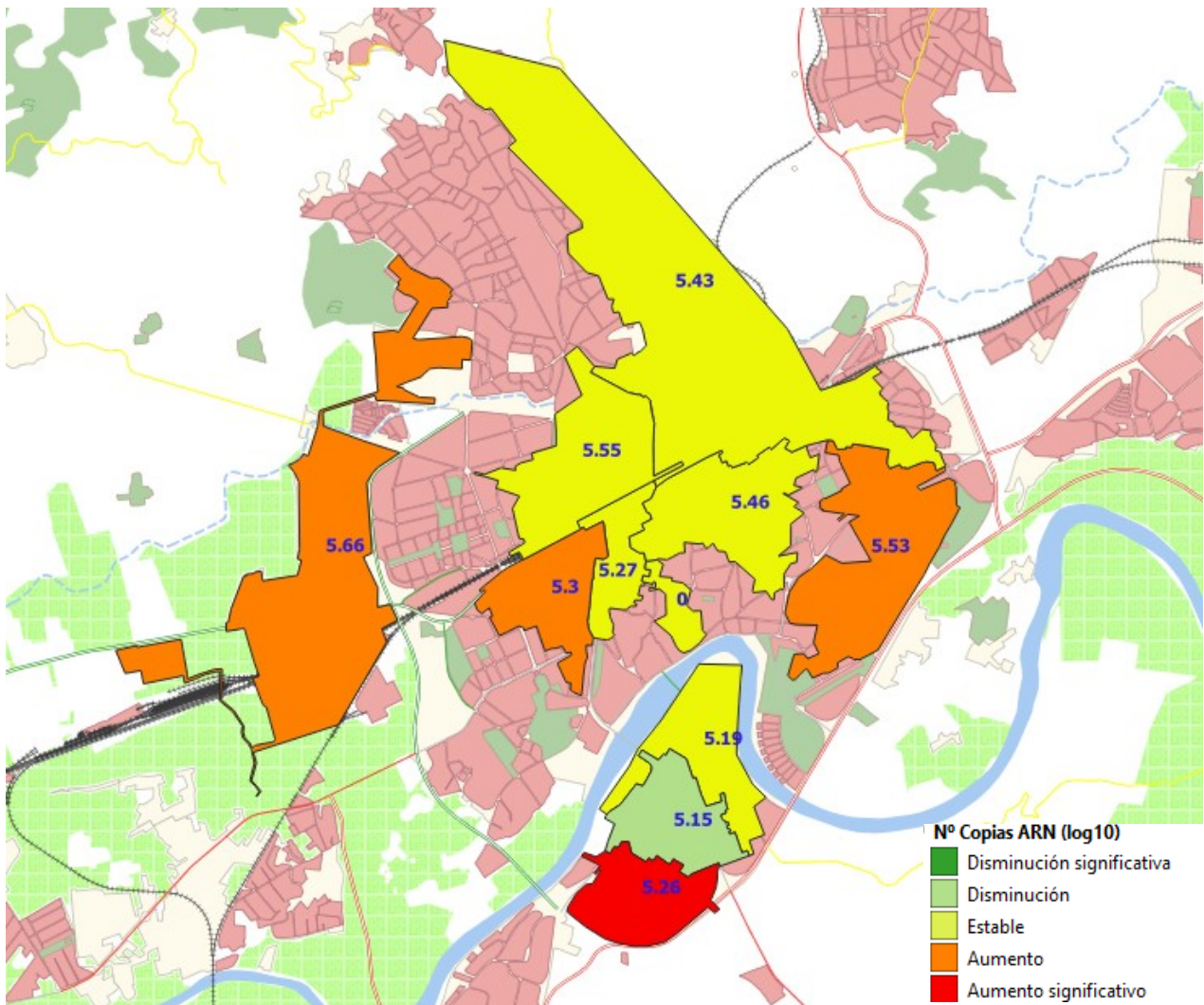


Representación gráfica del número de copias de ARN en aguas residuales:

En estos mapas se representan geográficamente los resultados analíticos del estudio de ARN en aguas residuales en los puntos de muestreo que recogen las aguas residuales de las cuencas seleccionadas, tanto las que se muestrean los martes como los jueves.

Se representa en color la variación en el número de copias, que se calcula a partir de la diferencia de cuantificación en unidades genómicas de copias de ARN respecto a la semana anterior. Los resultados pueden mantenerse estables, aumentar o disminuir, y se representan según el color correspondiente. Además se etiquetan las cuencas con el número de copias de ARN de la semana de estudio.

Mapa de la semana 25 (días de toma de muestras 22/06/2021 y 24/06/2021):

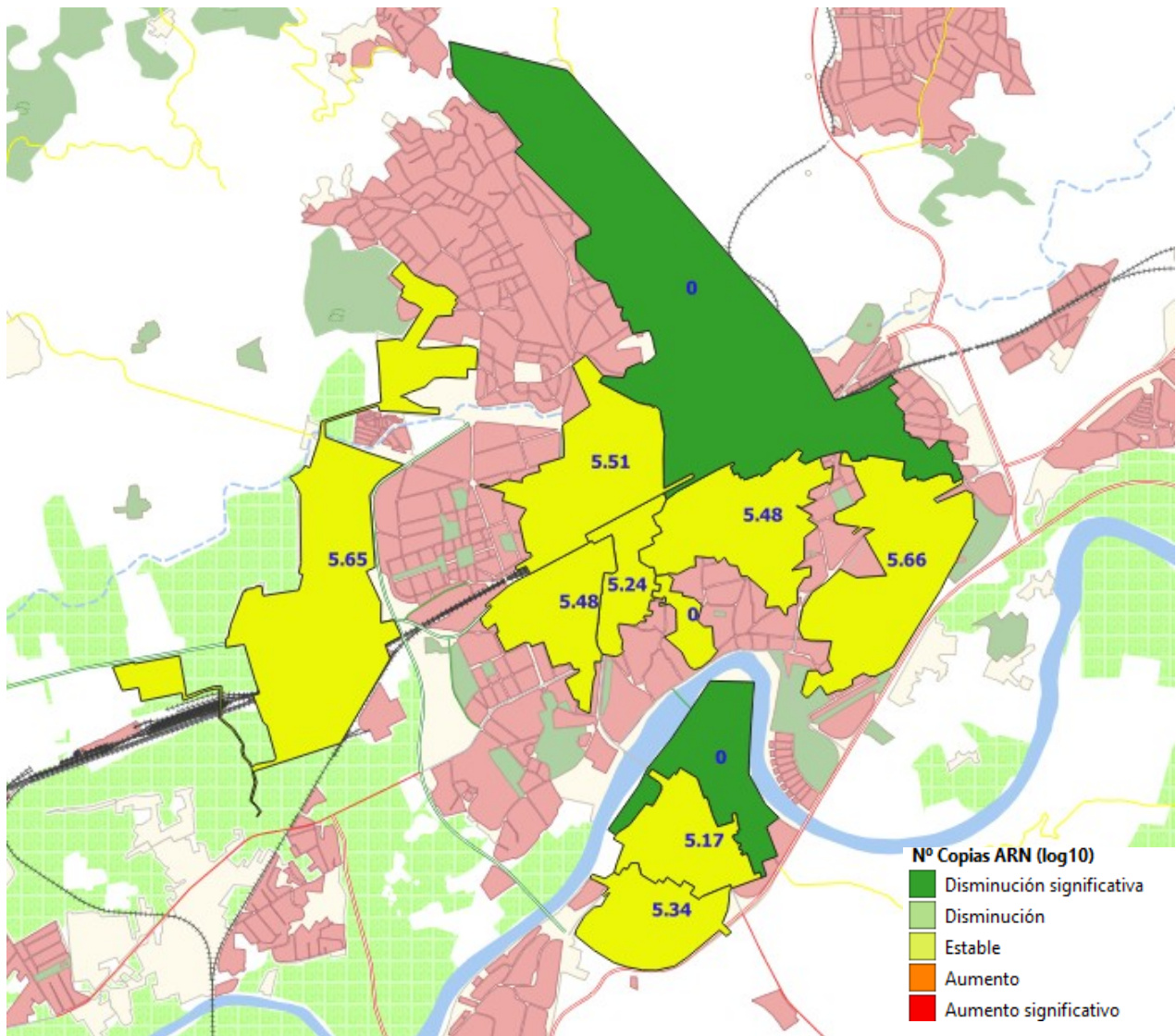


Gráfica 5: Número de copias genómicas de SARS-CoV-2 por litro de agua residual, transformado a escala logarítmica (\log_{10} cg/l) de la semana 25 y variación en el número de copias genómicas de la semana 24 a la semana 25.



En la semana 25 se observa una aumento significativo del número de copias de ARN en 1 cuenca (cuenca 2C, la semana anterior no se detectaron copias de ARN en esa cuenca, de ahí que el aumento sea significativo), en 3 cuencas aumenta el número de copias de ARN (cuencas 3B, 4C Y 5A), 7 cuencas se mantienen estables y en 1 cuenca disminuye (cuenca 2B) Se incluyen en este resumen los datos del número de copias de ARN de las aguas residuales de la EDAR aunque no están representados en la gráfica 5.

Mapa de la semana 26 (días de toma de muestras 29/06/2021 y 01/07/2021)



Gráfica 6: Número de copias genómicas de SARS-CoV-2 por litro de agua residuales, transformado a escala logarítmica (\log_{10} cg/l) de la semana 26 y variación en el número de copias genómicas de la semana 25 a la semana 26.



En la semana 26 se observa que en 10 cuencas se mantienen estables el número de copias de ARN en aguas residuales y en 2 cuencas hay una disminución significativa. Las disminuciones significativas se producen en las cuencas 2A y 4E y se debe a que en esta semana no se ha detectado copias de ARN en las aguas residuales, pero sí había casos en los últimos 14 días, 28 casos en la cuenca 2A (IA 14 días: 260) y 83 casos en la cuenca 4E (IA 14 días: 220). Se incluyen en este resumen los datos del número de copias de ARN de las aguas residuales de la EDAR aunque no están representados en la gráfica 6.

Discusión

En el **anexo II** se representan estos mismos datos de forma gráfica, los resultados analíticos de aguas residuales (\log_{10} cg/l) se muestran como barras y la incidencia acumulada en 14 días de covid-19 como líneas. A continuación se resumen los datos principales de los últimos cinco muestreos realizados por cuenca de vertido.

EDAR		Población	Casos 14 días	I.A. 14 días	Variación I.A.	Copias ARN (log10 cg/l)	Promedio variación (Ulog)	Variación copias ARN	Lluvia
Sem. 26	29/06/2021	308.770	944	305,73	-34,01	5,69	0,09	Estable	
Sem. 25	22/06/2021	308.770	1.049	339,74	56,35	5,60	0,02	Estable	
Sem. 24	15/06/2021	308.770	875	283,38	47,61	5,58	-0,06	Estable	
Sem. 23	08/06/2021	308.770	728	235,77	51,17	5,64	-0,01	Estable	
Sem. 22	01/06/2021	308.770	570	184,60	52,14	5,65	0,28	Estable	

2 A		Población	Casos 14 días	I.A. 14 días	Variación I.A.	Copias ARN (log10 cg/l)	Promedio variación (Ulog)	Variación copias ARN	Lluvia
Sem. 26	29/06/2021	10.766	28	260,08	-74,31	0	-5,19	Disminución significativa	
Sem. 25	22/06/2021	10.766	36	334,39	92,89	5,19	-0,36	Estable	
Sem. 24	15/06/2021	10.766	26	241,50	27,87	5,55	0,00	Estable	
Sem. 23	08/06/2021	10.766	23	213,64	0,00	5,55	0,00	Estable	
Sem. 22	01/06/2021	10.766	23	213,64	111,46	5,55	0,12	Estable	

2 B		Población	Casos 14 días	I.A. 14 días	Variación I.A.	Copias ARN (log10 cg/l)	Promedio variación (Ulog)	Variación copias ARN	Lluvia
Sem. 26	29/06/2021	15.088	49	324,76	-39,77	5,17	0,02	Estable	
Sem. 25	22/06/2021	15.088	55	364,53	66,28	5,15	-0,41	Disminución	
Sem. 24	15/06/2021	15.088	45	298,25	26,51	5,56	0,19	Estable	
Sem. 23	08/06/2021	15.088	41	271,74	112,67	5,37	0,20	Estable	
Sem. 22	01/06/2021	15.088	24	159,07	46,39	5,17	5,17	Aumento significativo	



2 C		Población	Casos 14 días	I.A. 14 días	Variación I.A.	Copias ARN (log10 cg/l)	Promedio variación (Ulog)	Variación copias ARN	Lluvia
Sem. 26	29/06/2021	10.280	36	350,19	0,00	5,34	0,08	Estable	
Sem. 25	22/06/2021	10.280	36	350,19	-68,09	5,26	5,26	Aumento significativo	
Sem. 24	15/06/2021	10.280	43	418,29	116,73	0	-5,29	Disminución significativa	
Sem. 23	08/06/2021	10.280	31	301,56	68,09	5,29	5,29	Aumento significativo	
Sem. 22	01/06/2021	10.280	24	233,46	-38,91	0	-4,62	Disminución significativa	

3 A		Población	Casos 14 días	I.A. 14 días	Variación I.A.	Copias ARN (log10 cg/l)	Promedio variación (Ulog)	Variación copias ARN	Lluvia
Sem. 26	01/07/2021	5.819	12	206,22	-51,56	5,24	-0,03	Estable	
Sem. 25	24/06/2021	5.819	15	257,78	17,19	5,27	-0,24	Estable	
Sem. 24	17/06/2021	5.819	14	240,59	17,19	5,51	0,32	Estable	
Sem. 23	10/06/2021	5.819	13	223,41	85,93	5,19	-0,34	Estable	
Sem. 22	03/06/2021	5.819	8	137,48	68,74	5,53	0,07	Estable	

3 B		Población	Casos 14 días	I.A. 14 días	Variación I.A.	Copias ARN (log10 cg/l)	Promedio variación (Ulog)	Variación copias ARN	Lluvia
Sem. 26	01/07/2021	19.774	66	333,77	20,23	5,48	0,18	Estable	
Sem. 25	24/06/2021	19.774	62	313,54	65,74	5,3	0,48	Aumento	
Sem. 24	17/06/2021	19.774	49	247,80	-55,63	4,82	-0,75	Disminución	
Sem. 23	10/06/2021	19.774	60	303,43	45,51	5,57	0,10	Estable	
Sem. 22	03/06/2021	19.774	51	257,91	141,60	5,47	-0,12	Estable	

3 C		Población	Casos 14 días	I.A. 14 días	Variación I.A.	Copias ARN (log10 cg/l)	Promedio variación (Ulog)	Variación copias ARN	Lluvia
Sem. 26	29/06/2021	22.311	64	286,85	-49,30	5,51	-0,04	Estable	
Sem. 25	22/06/2021	22.311	75	336,16	40,34	5,55	0,32	Estable	
Sem. 24	15/06/2021	22.311	66	295,82	40,34	5,23	0,05	Estable	
Sem. 23	08/06/2021	22.311	57	255,48	71,71	5,18	-0,19	Estable	
Sem. 22	01/06/2021	22.311	41	183,77	49,30	5,37	0,00	Estable	



4 A		Población	Casos 14 días	I.A. 14 días	Variación I.A.	Copias ARN (log10 cg/l)	Promedio variación (Ulog)	Variación copias ARN	Lluvia
Sem. 26	01/07/2021	2.862	7	244,58	-104,82	0	0,00	Estable	
Sem. 25	24/06/2021	2.862	10	349,41	-34,94	0	0,00	Estable	
Sem. 24	17/06/2021	2.862	11	384,35	69,88	0	0,00	Estable	
Sem. 23	10/06/2021	2.862	9	314,47	0,00	0	0,00	Estable	
Sem. 22	03/06/2021	2.862	9	314,47	34,94	0	-4,95	Disminución significativa	

4 C		Población	Casos 14 días	I.A. 14 días	Variación I.A.	Copias ARN (log10 cg/l)	Promedio variación (Ulog)	Variación copias ARN	Lluvia
Sem. 26	01/07/2021	35.252	115	326,22	-119,14	5,66	0,13	Estable	
Sem. 25	24/06/2021	35.252	157	445,36	62,41	5,53	0,79	Aumento	
Sem. 24	17/06/2021	35.252	135	382,96	73,75	4,74	0,21	Estable	
Sem. 23	10/06/2021	35.252	109	309,20	62,41	4,53	-0,16	Estable	
Sem. 22	03/06/2021	35.252	87	246,79	62,41	4,69	-0,08	Estable	

4 D		Población	Casos 14 días	I.A. 14 días	Variación I.A.	Copias ARN (log10 cg/l)	Promedio variación (Ulog)	Variación copias ARN	Lluvia
Sem. 26	01/07/2021	26.107	65	248,98	-68,95	5,48	0,02	Estable	
Sem. 25	24/06/2021	26.107	83	317,92	61,29	5,46	-0,25	Estable	
Sem. 24	17/06/2021	26.107	67	256,64	49,80	5,71	-0,02	Estable	
Sem. 23	10/06/2021	26.107	54	206,84	19,15	5,73	-0,07	Estable	
Sem. 22	03/06/2021	26.107	49	187,69	68,95	5,80	0,72	Aumento	

4 E		Población	Casos 14 días	I.A. 14 días	Variación I.A.	Copias ARN (log10 cg/l)	Promedio variación (Ulog)	Variación copias ARN	Lluvia
Sem. 26	01/07/2021	37.625	83	220,60	-79,73	0	-5,43	Disminución significativa	
Sem. 25	24/06/2021	37.625	113	300,33	10,63	5,43	-0,08	Estable	
Sem. 24	17/06/2021	37.625	109	289,70	69,10	5,51	0,02	Estable	
Sem. 23	10/06/2021	37.625	83	220,60	79,73	5,49	0,75	Aumento	
Sem. 22	03/06/2021	37.625	53	140,86	26,58	4,74	4,74	Aumento significativo	



5 A		Población	Casos 14 días	I.A. 14 días	Variación I.A.	Copias ARN (log10 cg/l)	Promedio variación (Ulog)	Variación copias ARN	Lluvia
Sem. 26	29/06/2021	15.210	53	348,45	-59,17	5,65	-0,01	Estable	
Sem. 25	22/06/2021	15.210	62	407,63	124,92	5,66	0,53	Aumento	
Sem. 24	15/06/2021	15.210	43	282,71	138,07	5,13	-0,54	Disminución	
Sem. 23	08/06/2021	15.210	22	144,64	52,60	5,67	0,02	Estable	
Sem. 22	01/06/2021	15.210	14	92,04	19,72	5,65	0,54	Aumento	

El estudio de la vigilancia de las aguas residuales de la ciudad de Córdoba se lleva realizando con esta metodología de trabajo desde el 12/01/2021.

En estas dos últimas semanas de estudio se puede observar en términos generales que aumenta la incidencia acumulada a 14 días en la semana 25 y disminuye en la semana 26. En cuanto al número de copias de ARN, en la mayoría de las cuencas se mantiene estable.

Tanto los resultados de la incidencia acumulada como los resultados del número de copias de ARN en aguas residuales pueden verse afectados por diversas variables, entre ellas destacamos:

Excreción del virus: Según documentación publicada en la página web del Ministerio para la Transición Ecológica y el Reto Demográfico, la duración media del virus en la heces es de 22 días, sin embargo no todos los pacientes covid-19 positivos excretan ARN en las heces, y la cantidad de virus y la duración varía de unos individuos a otros.

Precipitaciones: Aunque es un factor importante de dilución, en las muestras que se han tomado los días de lluvia no se ha observado una disminución acusada del número de copias de ARN, si bien, no han sido lluvias abundantes.

Temperatura del agua residual: A mayor temperatura, mayor degradación del material genético. Está estrechamente relacionada con la temperatura ambiente que durante el periodo de estudio se ha mantenido más o menos estable con algunos días de temperaturas primaverales. También a mayor temperatura ambiente se hace un mayor uso de agua de bebida y de aseo personal por lo que aumenta el volumen de agua en la red de saneamiento y por tanto un mayor dilución del material genético del SARS-CoV-2.

Tamaño de la cuenca: A mayor tamaño de la cuenca hay mayor degradación potencial del material genético debido al recorrido en la red de saneamiento. Las cuencas más amplias son la 4E, 5A y la EDAR, y las más pequeñas la 3A y 4A, pero no se ha encontrado diferencias significativas.

Características de la red de saneamientos, infiltraciones en la red, composición de las aguas residuales y sólidos en suspensión: Son factores que no podemos cuantificar y por lo tanto desconocemos en qué medida pueden explicar la variabilidad de datos que hemos obtenido.

Movilidad: Los desplazamientos y los hábitos conductuales de la población influyen en los niveles detectados de copias de material genético en las aguas residuales.



Vertidos procedentes de industrias: Estos vertidos pueden alterar las características físico-químicas de las aguas residuales que llegan a las cuencas y degradar el material genético, solo la cuenca 5A y la EDAR podrían verse afectadas, ya que no existen polígonos industriales las áreas de influencia del resto de cuencas.

Vertidos de productos químicos procedentes de los hogares y otros establecimientos: Los tratamientos de desinfección que se producen tras brotes en residencias de mayores, colegios y empresas, así como de forma general el aumento de la limpieza y desinfección debida a la pandemia que se viene realizando en los establecimientos de restauración, instalaciones deportivas y hogares... favorecen la degradación del material genético del virus. Si la toma de muestras coincide con el vertido de altas concentraciones de desinfectantes puede alterar completamente el resultado.

Tipo de muestreo, momento óptimo para la toma de muestras y logística para entregar las muestras al laboratorio: Las muestras son siempre simples y la hora de tomas de muestra de una semana a otra oscila como máximo 15 minutos de la hora establecida en cada punto de muestreo.

Métodos analíticos y nuevas variantes del SARS-CoV-2: No se ha cambiado de laboratorio ni de protocolo (Randazzo et al. 2020). Se pueden producir incidencias puntuales relativas a la técnica analítica que afecten a los niveles detectados en las aguas residuales.

En algunas ocasiones se están encontrando dificultades de diagnóstico cuando solo se detecta una de las sondas de las tres que se analizan y esta sonda no alcanza niveles significativos de detección. El hecho de no detectar en algunas muestras todas las sondas podría estar relacionado con la aparición de las nuevas cepas de SARS-CoV 2.

Casos covid no diagnosticados: Se desconoce cual es la proporción de personas infectadas no diagnosticadas, la incidencia acumulada en 14 días no es el valor real de personas infectadas. Puede que el número de copias de ARN sean más acorde a la realidad, pero se desconoce este dato ya que no se han realizado cribados en las área de influencia de ninguna cuenca para comparar los resultados.

Casos covid no referenciados geográficamente: estimamos un porcentaje inferior al 1 % el de casos que no se ha podido identificar las coordenadas geográficas de la vivienda de residencia, por lo que no se incluyen como casos asociados a ninguna cuenca de vertido.

ANEXO I

Datos principales asociados a las cuencas de vertido

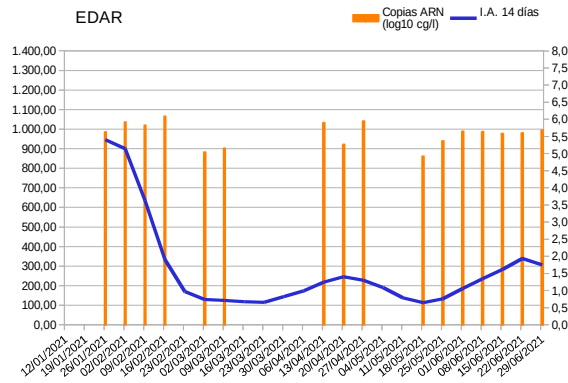
Cuenca	Barrios		Población	Residencias de mayores	Zonas desfavorecidas	Centro de salud	U.G.C.
2A	Campo de la Verdad	Fray Albino (parte)	10766	Hogar residencia San Pablo-Cáritas	Distrito Sur Córdoba (parte)		Sector Sur (parte)
2B	Sector Sur	Fray Albino (mayor parte)	15088	—	Distrito Sur Córdoba	Sector Sur Santa Victoria	Guadalquivir (parte) Sector Sur (parte)
2C	Polígono Guadalquivir		10280	Vitalia Guadalquivir	Distrito Sur Córdoba	Polígono Guadalquivir	Guadalquivir
3A	Centro comercial (parte)	La Trinidad, San Juan y Todos los Santos (parte)	5819	Santísima Trinidad			Poniente (parte) Córdoba Centro (parte) Lucano (parte)
3B	Cercadilla - Medina Azahara Huerta de la Marquesa (parte) Polígono Poniente (parte)	Vista Alegre (parte) Ciudad Jardín (parte) Centro Comercial (parte)	19774	—		Poniente	Poniente (parte) Aeropuerto (parte)
3C	Las Moreras Huerta San Rafael Huerta de la Reina Las Margaritas (parte)	Asomadilla (parte) Camping (parte) Arruzafilla (parte)	22311	Residencia de mayores Castilla	Las Moreras	Santa Rosa Huerta de la Reina	Carlos Castilla del Pino (parte) Huerta de la Reina (parte) Santa Rosa (parte)
4A	San Miguel Capuchinos (parte) El Salvador y La Compañía (parte)	San Francisco Rivera (parte) Catedral (parte) Centro Comercial (parte)	2862	Santa María		Lucano	Córdoba Centro (parte) Lucano (parte)

Cuenca	Barrios		Población	Residencias de mayores	Zonas desfavorecidas	Centro de salud	U.G.C.
4C	Cañero Parque Fidiana Santuario Levante (parte) Sagunto (parte)	Viñuela Rescatado (parte) Polígono de la Fuensanta (parte) Arcángel (parte) El Arenal (parte)	35252	—		La Fuensanta	Levante Sur (parte) Fuensanta (parte)
4D	Molinos Alta Ollerías Centro Comercial (parte) San Miguel Capuchinos (parte) Santa Marina (parte) San Andrés-San Pablo (parte)	Zumbacón – Gavilán (parte) Fuensantilla – Edisol (parte) Cerro de la Golondrina (parte) La Magdalena (parte) Ribera (parte) San Lorenzo	26107	Hermandad Nuestra Señora de los Dolores Residencia de mayores Jesús Nazareno Residencia San Andrés		Córdoba Centro	Córdoba Centro (parte) Lucano (parte) Levante Sur (parte)
4E	Naranjo Valdeolleros Santa Rosa Brillante (parte) Asomadilla (parte) Chinales (parte) Fátima (parte)	Sagunto (parte) Fuensantilla – Edisol (parte) Zumbacón – Gavilán (parte) San Cayetano (parte) Camping (parte) Huerta San Rafael (parte) Levante (parte)	37625	Residencia ORPEA Córdoba Sierra		Levante Norte El Naranjo	Santa Rosa (parte) Levante Norte (parte)
5	Palmeras Miralbaida Electromecánica Parque Azahara	Huerta San Isabel Oeste (parte) Camino Turuñuelos (parte) Patriarca (parte)	15210	Residencia María Auxiliadora	Las Palmeras	Occidente Azahara	Carlos Castilla del Pino Occidente

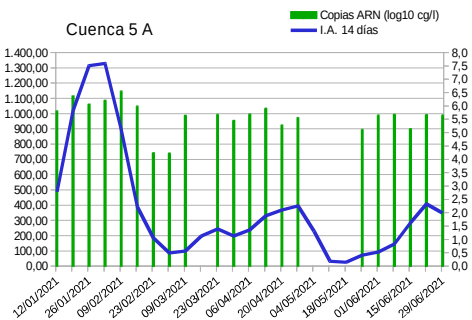
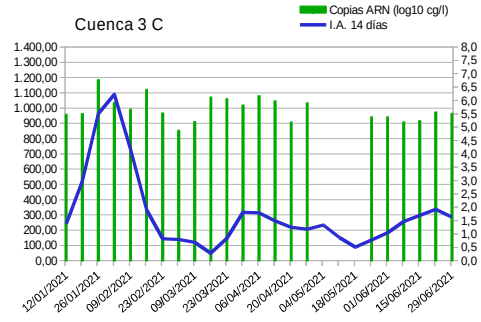
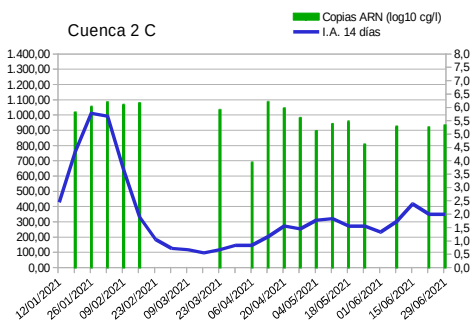
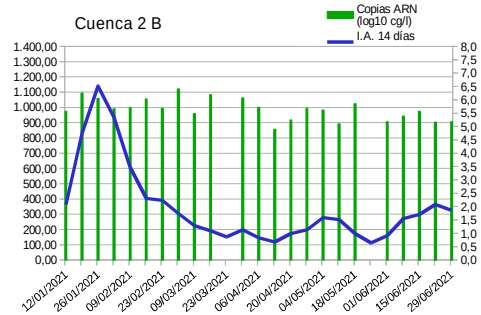
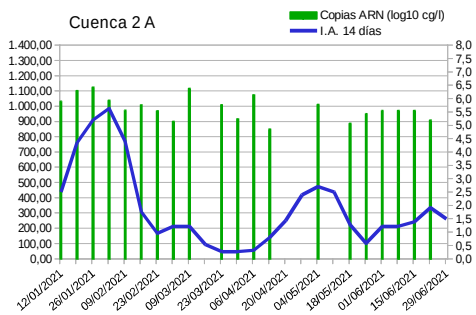
ANEXO II

Relación entre la incidencia acumulada en 14 días de casos de covid-19 (en barras) y el número de copias de ARN de SARS-CoV-2 detectado en aguas residuales (líneas), según el día de muestreo.

Cuencas de vertido de la Estación Depuradora de Aguas Residuales "La Golondrina":



Cuencas de vertido que se muestrean los martes de cada semana:



Cuencas de vertido que se muestrean los jueves de cada semana:

